

# Ближкие точки поворота и оператор Харпера

А. А. Федотов

**Ключевые слова:** оператор Харпера, близкие точки поворота, комплексный метод ВКБ, геометрия спектра.

DOI: <https://doi.org/??>

**1. Введение.** Мы будем обсуждаем спектр оператора Харпера в квазиклассическом приближении. Этот оператор – разностный оператор Шрёдингера, действующий в  $L^2(\mathbb{Z})$  по правилу

$$Hf(x) = \frac{f(x+h) + f(x-h)}{2} + \cos(x)f(x), \quad x \in \mathbb{R}, \quad (1) \quad \{\text{eq1}\}$$

где  $0 < h < 2\pi$  – параметр. Оператор (1) возникает при исследовании электрона в кристалле в постоянном магнитном поле, см., например, [1]. При  $\omega = h/(2\pi) \notin \mathbb{Q}$  спектр оператора  $2H$  как множество совпадает со спектром оператора почти-Матье с частотой  $\omega$ , см., например, [2; с. 4, 5]. Исследование спектра последнего привлекает внимание и математиков, и физиков. После почти 30 лет усилий ряда известных ученых было доказано, что при  $\omega \notin \mathbb{Q}$  он является абстрактным канторовым множеством [3].

В [4] Вилкинсон описал подход, позволивший эвристически изучить спектр  $H$  в квазиклассическом приближении. При условии, что  $\omega = h/(2\pi)$  раскладывается в бесконечную цепную дробь с большими натуральными элементами (квазиклассическая частота), он “показал”, что спектр расположен на конечном наборе интервалов – зон первого поколения, на каждой из которых с точностью до растяжения он устроен также, как спектр оператора Харпера с новыми параметрами. На каждом из этих интервалов спектр содержится на конечном наборе подинтервалов – зон второго поколения – и т.д. Подход Вилкинсона, таким образом описывающий спектр, называют перенормировочным. Используя аппарат квазиклассических ПДО, Элффер и Шостранд развили строгий перенормировочный подход и превратили результаты Вилкинсона в теоремы, см., например, [2]. Оператор  $H$  коммутирует с оператором сдвига на  $2\pi$ , и для его исследования можно попытаться применить идеи теории Блоха–Флоке. Этот путь привел В. Буслаева и А. Федотова к еще одному перенормировочному подходу – методу монодромизации. В [5] описано его применение для изучения геометрии спектра для квазиклассических частот.

Спектр исследовался и с помощью компьютера, см., например, [6]. Анализ результатов показывает, что для квазиклассических частот интервалы первого поколения длиннее и ближе друг к другу в особой области у центра отрезка  $[-2, 2]$ , содержащего весь спектр, на каждом из них интервалы второго поколения длиннее и ближе друг к другу в особой области, расположенной в его центральной части и т.д. Устройство спектра в особых областях определяет его глобальные геометрические характеристики (дробные размерности, распределение длин лакун и т.д.). Для доказательства канторовости всего спектра для квазиклассических частот спектр в особых областях частично исследовался в [7]. Но авторы не описали асимптотическую структуру спектра в них, считая ее сложной.

В рамках метода монодромизации устройство спектра в каждой особой области описывается разностным уравнением с близкими точками поворота. Для квазиклассической частоты все эти уравнения содержат квазиклассические параметры. Задача о близких точках поворота – классическая (для случая дифференциальных уравнений см., например, [8] и одну из последних работ [9], для **разностных** [10]). В этой заметке мы показываем как квазиклассические эффекты, связанные с близкими точками поворота,

---

Работа выполнена при поддержке РФФИ, грант № 20-01-00451 А.

© А. А. Федотов, 2023

определяют структуру спектра в особых зонах. Рекуррентное описание спектра довольно громоздко, и здесь мы ограничимся обсуждением зон первого и второго поколений, что уже даст хорошее представление о рекуррентном описании.

**2. Матрица монодромии.** Вместе с  $H$  рассмотрим разностное уравнение Шрёдингера

$$\frac{\psi(x+h) + \psi(x-h)}{2} + \cos(x)\psi(x) = E\psi(x), \quad x \in \mathbb{R}, \quad (2) \quad \{\text{eq2}\}$$

в котором  $E \in \mathbb{C}$  – спектральный параметр. Множество решений (2) инвариантно относительно оператора сдвига на  $2\pi$  – период потенциала (косинуса), и как и для дифференциального уравнения Шрёдингера

$$-\psi''(x) + v(x)\psi(x) = E\psi(x), \quad x \in \mathbb{R}, \quad (3) \quad \{\text{eq3}\}$$

с периодическим потенциалом  $v$ , матрица монодромии изображает ограничение оператора сдвига на период на множество решений в заданном базисе во множестве решений. Множество решений (3) – двумерное линейное пространство, и матрица монодромии – матрица  $2 \times 2$ , не зависящая от  $x$ . Множество решений (2) – двумерный модуль над кольцом  $h$ -периодических функций, см., например, [11; § 2.1]. Это означает, что есть таких два решения, что любое другое является их линейной комбинацией с  $h$ -периодическими коэффициентами. Поэтому для (2) матрица монодромии оказывается матрицей  $2 \times 2$  с коэффициентами, периодическими по  $x$  с периодом  $h$ . Удобно представить ее в виде  $M_1(2\pi x/h)$ , где  $M_1$  –  $2\pi$ -периодическая матрица-функция, и называть  $M_1$  матрицей монодромии. Чтобы описать одну из матриц монодромии, положим

$$\mathcal{M}(x, s, t) = \begin{pmatrix} a - 2 \cos x & s + te^{-ix} \\ -s - te^{ix} & st \end{pmatrix}, \quad a = \frac{1 - s^2 - t^2}{st}.$$

**ТЕОРЕМА 1.** При  $E \geq -2$  в множестве решений (2) есть такой базис из решений, целых по  $x$ , что  $M_1(x) = \mathcal{M}(x, s_1, t_1)$ ,  $s_1$  и  $t_1$  не зависят от  $x$ ,

$$t_1 \in i\mathbb{R}, \quad |s_1| = 1, \quad \text{и} \quad t_1(-E) = -\frac{1}{t_1(E)}, \quad s_1(-E) = -\frac{e^{2i\pi^2/h}}{s_1(E)}.$$

Базисные решения  $u$   $s_1$  и  $t_1$  аналитичны по  $E \in [-2, 2]$ .

Больше подробностей имеется в обзоре [5; раздел 2.3.1]. Отметим, что базис состоит из двух минимальных целых решений (решений, растущих наиболее медленно при  $|\text{Im } x| \rightarrow \infty$ ). При этом  $t_1$  и  $s_1$  выражаются через постоянные коэффициенты в асимптотиках одного из них при  $\text{Im } x \rightarrow \pm\infty$ , см. [12; раздел 7.1].

**3. Первая перенормировка.** Важным объектом теории Блоха–Флоке для (3) являются блоховские решения – решения (3), инвариантные с точностью до постоянного множителя относительно сдвига на период  $v$ . Их построение сводится к диагонализации матрицы монодромии. Если  $v$  – вещественнозначная непрерывная функция, то  $E$  принадлежит резольвентному множеству тогда и только тогда, когда существуют два линейно независимых блоховских решения, экспоненциально убывающие в разные стороны. Они существуют тогда и только тогда, когда половина следа матрицы монодромии по модулю больше единицы. Попытка построить блоховские решения (2) ведет к уравнению монодромии [5; раздел 2.1.4]

$$\psi_1(x+h_1) = M_1(x)\psi_1(x), \quad (4) \quad \{\text{eq4}\}$$

где  $M_1$  – матрица монодромии для (2),  $h_1 = 2\pi\{\cdot\}$ , а  $\{\cdot\}$  – дробная часть. Отметим связь между цепными дробями для  $h/(2\pi)$  и  $h_1/(2\pi)$ :

$$\frac{h}{2\pi} = \frac{1}{n_1 + \frac{1}{n_2 + \dots}} \quad \implies \quad \frac{h_1}{2\pi} = \frac{1}{n_2 + \frac{1}{n_3 + \dots}}.$$

Переход от (2) к (4) называется *перенормировкой*.

В качестве  $M_1$  выберем в (4) матрицу монодромии из теоремы 1. Пусть

$$\mathcal{E}(t, s) = \frac{1}{2} \left( \frac{1}{t} - t \right) \left( \frac{1}{s} - s \right).$$

Очевидно,

$$\mathcal{E}(t_1, s_1) = \frac{1}{2} \cdot \frac{1}{2\pi} \int_0^{2\pi} \text{Tr } M_1(x) dx,$$

и  $\mathcal{E}(t_1, s_1) \in \mathbb{R}$  при  $E \in \mathbb{R}$ .

Для (4) линейно независимые блоховские решения, экспоненциально убывающие в разные стороны можно построить ~~при  $|E| > 2$~~  с помощью теоремы 4.1 из [13]. Используя ее, конструкции из [13; раздел 3.6] и теорему 1 из [11], мы доказали утверждение:

**ТЕОРЕМА 2.** Число  $E \in \mathbb{R}$  находится вне спектра оператора  $H$ , если

$$|t_1| < 1 \quad \text{и} \quad |\mathcal{E}(t_1, s_1)| > 2 + \frac{h_1}{|1/t_1 - 1|}. \tag{5} \quad \{\text{eq5}\}$$

**4. Квазиклассические асимптотики  $t_1$  и  $s_1$ .** Ниже мы считаем, что  $0 \leq E < 2$ , а элементы  $n_1, n_2, \dots$  цепной дроби числа  $h/(2\pi)$  достаточно велики. Тогда, в частности,  $h$  мало. Вычисление асимптотик  $t_1$  и  $s_1$  при  $h \rightarrow 0$  сводится к исследованию некоторого минимального целого решения  $\psi_0$  уравнения (2).

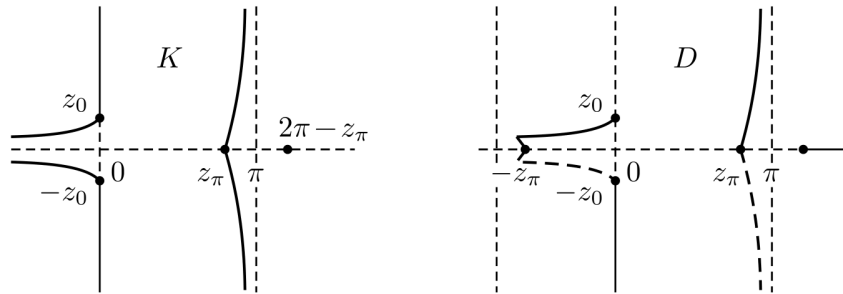


Рис. 1

Асимптотики  $\psi_0$  получаются с помощью варианта комплексного метода ВКБ для разностных уравнений из [14], [15]. Определим многозначную аналитическую функцию  $p$  переменной  $x \in \mathbb{C}$  уравнением  $\cos p + \cos x = E$ . В ее точках ветвления  $E - \cos x \in \{\pm 1\}$ . Точки, где  $E - \cos x \in \{\pm 1\}$ , называются точками поворота и играют такую же роль, что и точки поворота для (3). Для (2) их множество  $2\pi$ -периодично и симметрично относительно нуля,  $x = \pi$  и  $\mathbb{R}$ . При малых  $E$  они группируются парами около точек  $\pi\mathbb{Z}$  и их расположение соответствует рис. 1, где они изображены маленькими кружочками. При  $h \rightarrow 0$  решение  $\psi_0$  допускает стандартное квазиклассическое асимптотическое представление вида

$$\psi_0(x) = \frac{1}{\sqrt{\sin p(x)}} \exp\left(\frac{i}{h} \int_{x_0}^x p dx + O(h)\right)$$

в области  $K \subset \mathbb{C}$ , изображенной слева на рис. 1. Ее граница изображена непрерывной линией и состоит из линий Стокса. Асимптотики  $\psi_0$  в  $K$  при  $h \rightarrow 0$  позволяют вычислить лишь  $t_1$ . С помощью методов, аналогичных развитым в [16; раздел 5], устанавливается, что решение  $\psi_0$  сохраняет стандартное асимптотическое представление в более широкой области  $D$ , изображенной справа на рис. 1. Это позволяет вычислить  $s_1$ . При малых  $E$  часть “проходов” из  $K$  в  $D$  закрывается, и для вычисления  $s_1$  асимптотики  $\psi_0$  за пределами  $K$  описываются с помощью [10], где вычислены матрицы перехода между базисами из

решений, имеющих стандартное асимптотическое представление в областях, разделенных близкими точками поворота. Опишем результаты. Положим

$$\Phi_0(E) = \frac{1}{2\pi} \oint_{\gamma_\Phi} p dx, \quad S_0(E) = \frac{1}{2\pi i} \oint_{\gamma_S} p dx, \quad 0 < E < 2,$$

где  $\gamma_\Phi$  ( $\gamma_S$ ) – замкнутая кривая, обходящая отрезок прямой, соединяющий точки поворота  $-z_\pi$  и  $z_\pi$  ( $-z_0$  и  $z_0$  соответственно). Интегрируются непрерывные ветви  $p$ , выбранные так, что  $\Phi_0(E) > 0$  и  $S_0(E) > 0$ . Функции  $S_0$  и  $2S_0 \ln S_0 - \pi\Phi_0$  аналитичны в окрестности нуля,  $S_0(0) = 0$ ,  $S'_0(0) = 1$ ,  $\Phi_0(0) = \pi$ , а  $\Phi_0$  и  $-S_0$  монотонно убывают с ростом  $E$ .

**ТЕОРЕМА 3.** Пусть  $C_0$  достаточно мало, а  $|E| \leq C_0$ . При достаточно малом  $h$

$$t_1 = i \exp\left(-\pi\left(\frac{S_0}{h} + g_S\right)\right),$$

$$s_1 = -iU\left(\frac{S_0}{h} + g_S\right) \exp\left(-\frac{2iS_0}{h}\left(\ln \frac{S_0}{h} - 1\right) + i\pi\left(\frac{\Phi_0}{h} + g_\Phi\right)\right),$$

$$U(\xi) = \frac{\Gamma(i\xi + 1/2)}{\Gamma(-i\xi + 1/2)}.$$

где  $g_S$  и  $g_\Phi$  – вещественно аналитические функции  $E$ , допускающие равномерные оценки:  $g_S(E) = O(h)$ ,  $g_\Phi(E) = O(h \ln h)$ . Кроме того,  $g_S(0) = g_\Phi(0) = 0$ .

**5. Информация о спектре после первой перенормировки.** Благодаря инвариантности множества решений уравнения Харпера относительно преобразования  $\psi(x, E) \mapsto e^{i\pi x/h} \psi(x + \pi, -E)$ , спектр симметричен относительно нуля. Ниже  $E \geq 0$ . Из теоремы 3 следует, что график  $E_1 = \mathcal{E}(t_1, s_1)$  как функции  $E$  соответствует рис. 2. При удалении от нуля  $E_1$  осциллирует с амплитудой

$$2 \operatorname{ch}\left(\frac{\pi}{h}(S_0 + hg_S)\right),$$

возрастающей с ростом  $E$  от двух до экспоненциально большой по  $h$  величины. На этом же рисунке мы изобразили графики функции  $\rho$ , равной правой части неравенства (5), и функции  $-\rho$ . Интервалы, где  $|E_1| > \rho$ , содержатся в лакунах. На рисунке мы изобразили один такой интервал. Теоремы 2 и 3 позволяют детально описать асимптотики центров и длин серии интервалов, содержащихся в лакунах. Мы обсудим два случая.

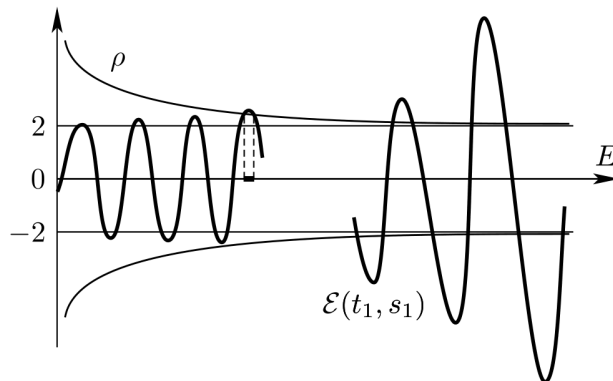


Рис. 2. График  $\mathcal{E}(t_1, s_1)$ .

Начнем со случая, когда влияние близких точек поворота пропадает. Фиксируем  $C_1 \in (0, C_0)$ , где  $C_0$  – константа из теоремы 3. Пусть  $C_1 \leq E \leq C_0$ . Для таких  $E$   $S_0(E) \geq$

$S_0(C_1) > 0$ ,  $\Gamma$ -функция в определении  $U$  заменяется асимптотикой, и оказывается, что

$$E_1 = \exp\left(\frac{\pi}{h} S_0 + O(h \ln h)\right) \cos\left(\frac{\pi}{h} (\Phi_0 + hg_\Phi)\right),$$

где ~~выражение  $O(h \ln h)$~~  поправке вещественно аналитично ~~и~~.

**ТЕОРЕМА 4.** Пусть  $\{E_k\} \subset [C_1, C_0]$  – последовательность точек, удовлетворяющих условиям  $(1/h)\Phi_0(E) = 1/2 + k$ ,  $k \in \mathbb{Z}$ . Расстояние ними имеет порядок  $h$ , а спектр на отрезке  $[C_1, C_0]$  содержится на таких интервалах  $I_k$ , что  $I_k$  находится в  $o(h)$  окрестности точки  $E_k$ , а длина  $I_k$  в старшем порядке равна

$$\frac{4h}{\pi |\Phi'_0(E_k)|} \exp\left(-\frac{\pi}{h} S_0(E_k)\right).$$

Этот результат согласуется с хорошо известными [2; теорема 1] (см. также [17]).

Вычисляя приращение интегрированной плотности состояний на интервалах  $I_k$  как в [18; раздел 4.3.3], мы доказываем, что на каждом из них есть спектр (см. также [19]).

Обсудим область, где влияние близких точек поворота особенно сильно. Фиксируем  $c_0 > 1$ . Пусть  $\epsilon = E/h \in [0, c_0]$ . Из теоремы 3 вытекает, что

$$t_1 = i e^{-\pi\epsilon + O(\epsilon/h)}, \quad E_1 = 2 \operatorname{ch}(\pi\epsilon + O(\epsilon/h)) \cdot \cos\left(\frac{\pi^2}{h} - 2\epsilon \left(\ln \frac{1}{h} + g\right)\right), \quad g = O(1),$$

с аналитическими по  $\epsilon$  поправками. Заметим, что при нашем условии на цепную дробь для  $h/(2\pi)$ , число  $h_1$  мало. Справедлива

**ТЕОРЕМА 5.** Рассмотрим множество таких точек  $\epsilon$  на интервале  $[0, c_0]$ , что

$$\frac{\pi^2}{h} - 2\epsilon \left(\ln \frac{1}{h} + g\right) \in \pi\mathbb{Z}.$$

В старшем порядке расстояние между ними равно  $\pi/(2 \ln(1/h))$ . Пронумеруем эти точки слева направо номером  $k \geq 1$ , если  $[2\pi/h]$  – нечетное число, и  $k \geq 0$ , если оно четное. Если произведение  $h_1 |\ln h|^3$  мало, то каждая из точек  $h\epsilon_k$  с  $k \geq 1$  находится лакуне длины как минимум порядка  $hk/(\ln h)^2$ . Если мало лишь  $h_1$ , то это верно для таких  $k$ , что  $\epsilon_k \geq 1$ .

**6. Коротко о спектре после второй перенормировки.** Пусть  $I$  – интервал значений, которые принимает  $E_1$  между двумя своими соседними экстремумами или на зонах первого поколения, найденными после первой перенормировки. Для исследования спектра на  $I$  выполняют перенормировку уравнения (4). Так как матрица  $M_1$  является  $2\pi$ -периодической, для (4) тоже можно ввести матрицу монодромии. Вместо теоремы 2 используется следующая теорема [5; теорема 2.6]

**ТЕОРЕМА 6.** Рассмотрим уравнение (4) с  $M_1(x) = \mathcal{M}(x, s, t)$ , где  $s, t \in \mathbb{C}$ ,  $|s| = 1$ ,  $t \in i\mathbb{R} \setminus \{0\}$ . Фиксируем  $C > 0$  и предположим, что  $|t| \leq C$  и  $0 \leq \mathcal{E}(t, s) \leq C$ . При достаточно малом  $h$  во множестве решений (4) есть такой базис из решений, целых по  $x$ , что соответствующая матрица монодромии имеет вид  $M(x, \mathbb{S}, \mathbb{T})$ , где  $\mathbb{S}, \mathbb{T}$  не зависят от  $x$ ,  $\mathbb{T} \in i\mathbb{R}$  и  $|\mathbb{S}| = 1$ . Базисные решения,  $\mathbb{S}$  и  $\mathbb{T}$  аналитичны по  $s$  и  $t$ .

Далее рассматривается уравнение (4) с заменой  $h_1$  на  $h_2 = \{1/h_1\}$  и  $M_1$  на  $\mathcal{M}(x, s_2, t_2)$ , где  $s_2 = \mathbb{S}(s_1, t_1)$  и  $t_2 = \mathbb{T}(s_1, t_1)$ , и доказываем Теорема 2 с заменой индекса 1 на 2.

Вернемся к первому уравнению монодромии. Так как параметр  $h_1$  мал, то можно получить квазиклассические асимптотики для  $s_2$  и  $t_2$ . Существенной разницей оказывается вхождение в асимптотические формулы фазы Берри, аналога хорошо известной для дифференциальных уравнений, см. [20]. Описание спектра после второй перенормировки в целом следует тому же пути, что и после первой. Мы обнаруживаем новую

Забудьте про  $\mathbb{T}$  и  $\mathbb{S}$  используем комбинации  $\mathbb{T}$  и  $\mathbb{S}$

коллекцию лагун на интервале  $I$  (лагуны второго поколения). Ниже мы остановимся на описании спектра расположенного около точки, где  $E_1 = 2$ , а  $E$  удовлетворяет условию  $E/h \in [0, c_0]$ . Это позволит нам обсудить концы лагун из теоремы 5. Для уравнения (4) комплексный импульс определяется соотношением  $\text{Tr } M_1(x) = 2 \cos p$  или, эквивалентно,  $\cos p + \cos x = E_1$ . При  $E_1$  близком к 2 около  $x = 0$  возникают две близкие точки поворота. Получаются асимптотические формулы

$$s_2 = i \exp\left(\frac{i\pi\Phi}{h_1}\right),$$

$$t_2 = \frac{\sqrt{2\pi}i}{\Gamma(\Phi/h_1 + 1/2)} \times \exp\left(\frac{\Phi}{h_1} \ln \frac{1}{h_1} + \frac{1}{h_1} (\Phi_0(\ln \Phi_0 - 1) - \pi S_0) + (\Phi_1 \ln \Phi_0 - \pi S_1) + O(h_1 \ln h_1)\right), \quad (6) \quad \{\text{eq6}\}$$

где  $\Phi = \Phi_0(E_1) + h_1\Phi_1(s_1, t_1) + O(h_1^2)$ , а  $\Phi_1 = \Phi_1(s_1, t_1)$  и  $S_1 = S_1(s_1, t_1)$  – фазы Берри “подправляющие”  $\Phi_0 = \Phi_0(E_1)$  и  $S_0 = S_0(E_1)$  и равные контурным интегралам от некоторого мероморфного дифференциала по  $\gamma_\Phi$  и  $\gamma_S$ . Функции  $\Phi_0$  и  $\Phi_0 \ln \Phi_0 - \pi S_0$  аналитичны по  $E_1$ , а  $\Phi_1$  и  $\Phi_1 \ln \Phi_0 - \pi S_1$  аналитичны по  $t_1$  и  $s_1$ .

Обсудим лагуны “спрятанные” у точек  $E = h\epsilon_k$  с  $\epsilon_k < 1$ , когда произведение  $h_1 |\ln h|^3$  не мало, см. теорему 5. Около каждой такой точки есть две точки, где  $E_1$  принимает одинаковые значения, равные либо 2, либо  $-2$ , см. рис. 2. Рассмотрим первый случай. Для того, чтобы понять, есть ли около  $E = h\epsilon_k$  лагуна, мы вычисляем значения  $E_2$  в этих двух точках. Для этого нужны значения  $\Phi$  из (6) в этих точках. Так как  $\Phi_0(2) = 0$ , то они определяются значениями  $\Phi_1$ . Последние вычисляются явно, и оказывается, что всегда в одной из двух обсуждаемых точек величина  $E_2$  экспоненциально велика. Отсюда и вытекает, что около  $E = h\epsilon_k$  действительно есть “спрятанная” лагуна. Это отражает свойство перенормировочной процедуры “раскрывать” (т.е. делать возможным обнаружить) новые лагуны при новых перенормировках.

#### СПИСОК ЦИТИРОВАННОЙ ЛИТЕРАТУРЫ

- [1] M. Wilkinson, *J. Phys. A*, **20**:13 (1987), 4337–4354. [2] B. Helffer, J. Sjöstrand, *Mem. Soc. Math. France (N.S.)*, **34** (1988), 1–113. [3] A. Avila, S. Jitomirskaya, *Ann. of Math. (2)*, **170**:1 (2009), 303–342. [4] M. Wilkinson, *Proc. Royal Soc. London, A*, **391**(1984) [5] A. А. Федотов, *Алгебра и анализ*, **25**:2 (2013), 203–235. [6] J. P. Guillemin, B. Helffer, P. Treton, *J. de Phys.*, **50** (1989), 2019–2058. [7] B. Helffer, J. Sjöstrand, *Mem. Soc. Math. France (N.S.)*, **39** (1989), 1–125. [8] М. В. Федорюк, *Асимптотические методы для линейных обыкновенных дифференциальных уравнений*, Наука, М., 1983. [9] А. Ю. Аникин, С. Ю. Доброхотов, А. В. Цветкова, *ТМФ*, **204**:2 (2020), 171–180. [10] A. A. Fedotov, *Russ. J. Math. Phys.*, **29**:4 (2022), 467–493. [11] Д. И. Борисов, А. А. Федотов, *Функц. анализ и его прил.*, **56**:4 (2022), 3–16. [12] V. Buslaev, A. Fedotov, *Adv. Theor. Math. Phys.*, **5**:6 (2001), 1105–1168. [13] В. С. Буслаев, А. А. Федотов, *Алгебра и анализ*, **7**:4 (1995), 74–122. [14] В. С. Буслаев, А. А. Федотов, *Алгебра и анализ*, **6**:3 (1994), 59–83. [15] А. А. Федотов, Е. В. Щетка, *Алгебра и анализ*, **29**:2 (2017), 193–219. [16] A. Fedotov, F. Klopp, *Asymptot. Anal.*, **39**:3–4 (2004), 309–357. [17] А. А. Федотов, Е. В. Щетка ~~журн~~ Матем. заметки, **104**:6 (2018), 948–952. [18] A. Fedotov and F. Klopp, *Comm. Math. Phys.*, **227**:1 (2002), 1–92. [19] А. А. Федотов, Е. В. Щетка, *Матем. заметки*, **107**:6 (2020), 948–953. [20] A. Fedotov, E. Shchetka, *Appl. Anal.*, **101**:1 (2022), 274–296.

А. А. Федотов  
Санкт-Петербургский государственный университет  
E-mail: a.fedotov@spbu.ru

Поступило  
17.01.2023  
Принято к публикации  
25.01.2023